超音波エネルギーによる木材の温度上昇について -周波数の差異による比較-*

日大生産工(院) 鈴木圭 日大生産工 大塚哲郎

1 はじめに

木材中に潜んでいる害虫の除去をする場合、木材自体の形状、特性を損なわずに除去が実施されることが望ましい。特に輸入された加工材木に害虫などが混入していた場合、検疫といった観点からも非常に重要である。

本研究では木材中に伝搬する振動エネルギー が熱エネルギーに変換されることを利用し、そ の周波数ごとの差異についてを検討した。

2 超音波放射用ホーンについて

本実験では、木材中に強力超音波を集中して放射するために、振動子から放射されるエネルギーを集中させる超音波ホーンを用いた。ホーンの形状は Fig.1 に示す様な半波長共振するステップホーンで、駆動周波数は 28 kHz と 20 kHz として設計した。

設計したステップホーンの寸法は $28~{
m kHz}$ は d_1 = $40~{
m mm}$ 、 d_2 = $20~{
m mm}$ 、 $20~{
m kHz}$ は d_1 = $56~{
m mm}$ 、 d_2 = $28~{
m mm}$ として、ジュラルミン (JIS-2017) から旋盤加工した。

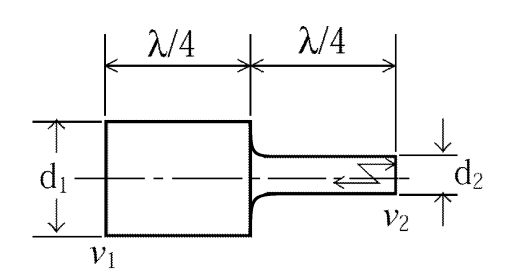


Fig. 1 Design of step horn

3 実験方法

前述のホーン先端を木材に圧着し超音波を三分間放射し続け、その間の温度上昇をサーモグラフィー(TVS-700)で測定、記録した。

TVS-700 の仕様を Table1 に、ホーンを木材に圧着する様子を Fig.2 に示す。

また本実験に用いるホーンの先端の振幅分布 を光学的測定法であるホトニックセンサを用い て測定し、そこから各超音波ホーンの入力(W)における振動速度を算出し、Fig.3を得た。この結果により、振動速度を基準として周波数ごとの比較を行った。

Table 1 TVS-700 Specification

| 表示画素数 | 320(H) × 240(V) |
|---------|-----------------|
| 検知波長 | 8 ~ 14μm |
| 最小温度分解能 | 0.05 (30 黒体にて) |
| 温度精度 | ± 2 (室温環境下) |

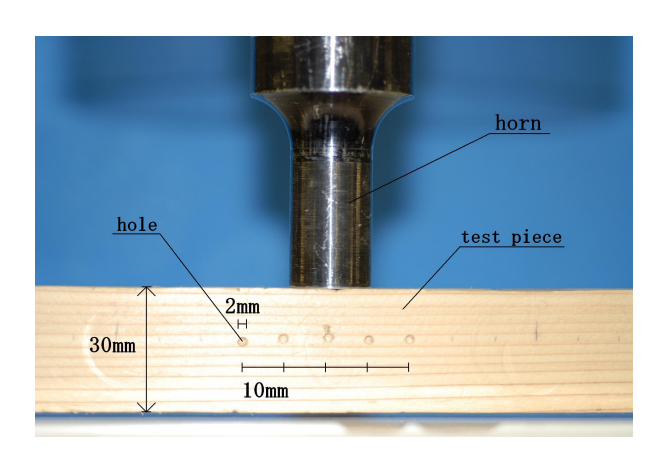


Fig. 2 Experimental setup

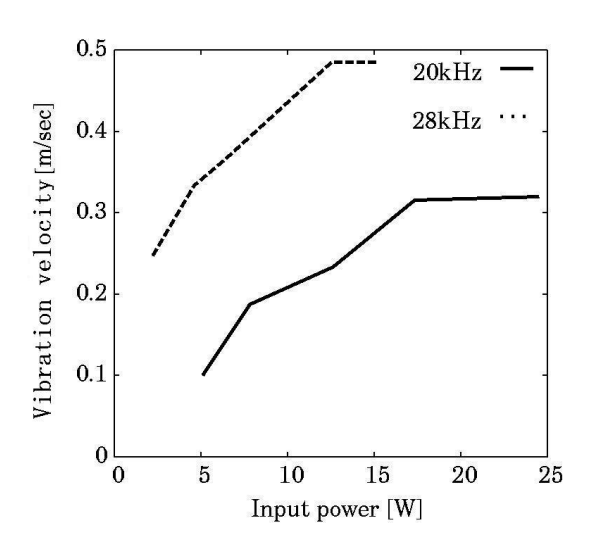


Fig. 3 Vibration velocity with increasing the input power

^{*}Temperature rise of the wood by ultrasound energy. by Kei SUZUKI and Tetsurou OTSUKA (College of Indust.Tech.Nihon University)

4 温度分布

今回の実験では、厚さ $15 \, \mathrm{mm}$ 、幅 $30 \, \mathrm{mm}$ 、長さ $600 \, \mathrm{mm}$ の乾燥した杉木材に、害虫による食害として想定した直径 $2 \, \mathrm{mm}$ 、深さ $2 \, \mathrm{mm}$ の穴を $10 \, \mathrm{mm}$ 間隔で開けたものを使用した。また、ホーンに荷重を加えると振動エネルギーを伝播させた際に温度をより上昇させることができるため [1]、木材の厚み方向に $10 \, \mathrm{kg}$ の荷重を加えて実験を行い、 $\mathrm{Fig.4}$ 、 $\mathrm{Fig.5}$ に示す図中の点線部における温度を、自重のみの場合と比較してグラフに示した。なお、 $\mathrm{Fig.3}$ に得た結果から周波数ごとの比較は、それぞれのホーンの振動速度が最も近い入力においてである。

Fig.4 は 20kHz ホーンを用い、振動子電気入力 24.5W にて三分間超音波を照射した結果。板全体の温度上昇は、ホーン直下および、板下部にて少々の上昇があるのみであり、荷重による温度の変化もほとんど見られない。

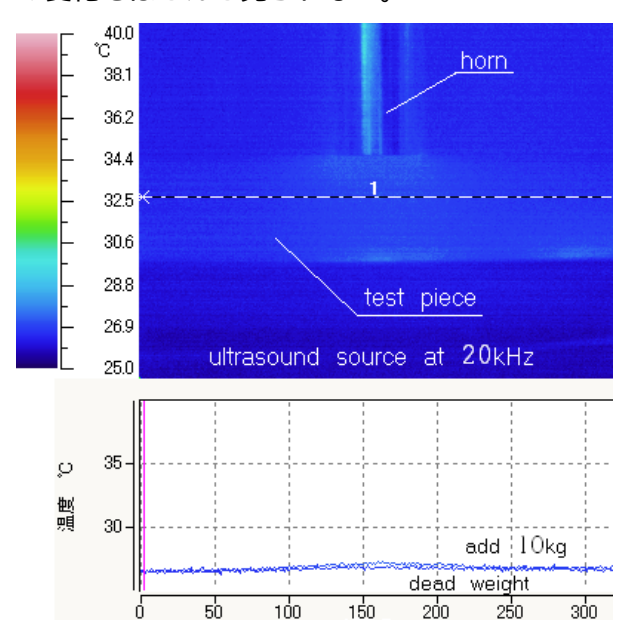


Fig. 4 20kHz Temperature distribution

Fig.5 は 28kHz ホーンを用い、振動子電気入力 4.6W にて同じく三分間超音波を照射した結果、Fig.4 に比べ板全体の温度が大きく上昇しており、荷重による温度の変化も大きい。温度の上昇はホーン直下にある 2mm の穴においてもっとも著しく、周囲の温度に比べて約 3 上昇している。そしてその他の穴の結果から、28kHz の超音波照射においては、ある程度距離に比例した温度上昇が見られるということが分かった。

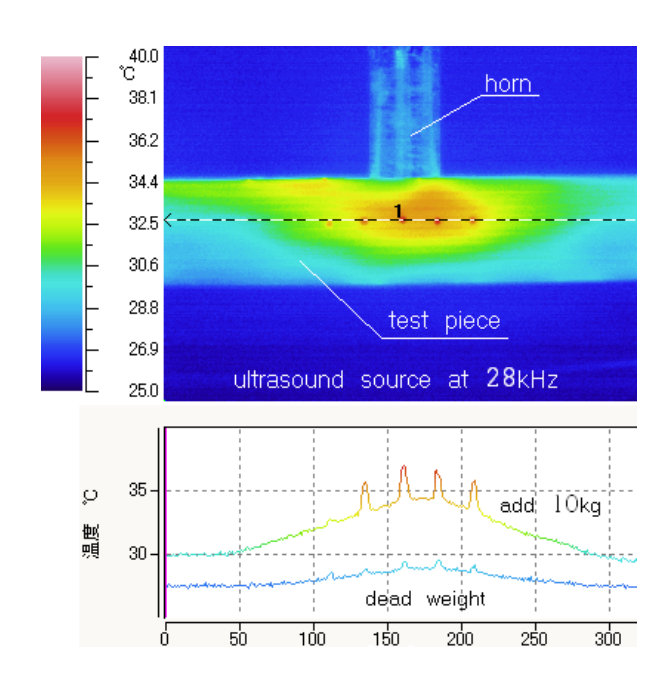


Fig. 5 28kHz Temperature distribution

5 まとめ

木材に強力超音波を伝搬することで超音波エ ネルギーにより木材全体が発熱する事、また、波 長によってその温度上昇に違いがあることが分 かった。今回の実験結果においては 28kHz の温 度変化のほうが大きかったが、Fig.4 の結果を見 ると、Fig.5の結果とは違い、ホーン直下よりも 遠い場所から温度が高くなっているのが見られ る。この実験結果を受け、今後の実験でこの原因 および、木材の温度上昇における最も適した周波 数の条件を探っていく。また、今回の実験では、 温度変化は三分間の照射で最大 35 前後という ものだったが、日本における食害の多くを引き 起こす害虫であるヤマトシロアリ、イエシロアリ は、40 恒温以上において死滅させる事ができ る[2]ため、食害を引き起こす害虫の駆除に期待 を持つことができる。

今後の課題としては今回の結果を生かし、害 虫駆除の最適条件を検討していく予定である。

参考文献

- [1] 鈴木、大塚: 2009 年度日本音響学会秋季研究 発表会 1-Q-10
- [2] 佐藤仁彦編集,"生活害虫の辞典,"朝倉書店, 2003年.